

九州大学工学部 正員 上田年比古 正員 楠口英昭

(1) 緒言

潜り堰下流部の流れを、拘束された流れの場における噴流と類似の現象と考え¹⁾ 堰頂付近におけるはく離形を考慮して、ここでは断面が矩形の潜り堰の流量公式を検討する。

(3) 解析のモデル

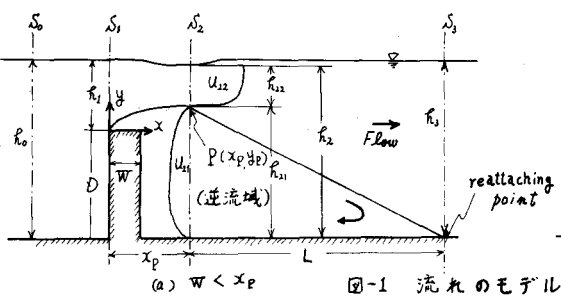
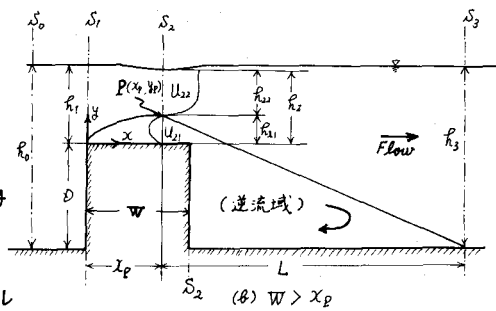


図-1 流れのモデル

(2) 実験装置と方法

実験は長さ18m、幅60cm、深さ70cmの水路で行い、流速分布、はく離形の測定は、正逆両用のプロペラ流速計(径0.6cm)により行なった。



流れのモデルを図-1に示す。ここに、W: 堤巾、

x_p : はく離最高点Pの堰上流端からの距離。

(3-1) 檢査面 S_2 , S_3 間の運動量の式

○ $W < x_p$ の場合(図-1(a)参照)

$$\rho \int_{h_{22}}^{h_2} U_{22}^2 dh + \rho \int_0^{h_{21}} U_{21}^2 dh - \rho \beta_2 T_b h_3 = \frac{\rho g}{2} \{ h_3^2 - (h_2 + h_{21})^2 \} \quad (1)$$

U_{22} : S_2 における正方向流速、 U_{21} : S_2 における負方向流速、 ρ : 水の単位体積重量、 β_2 : S_3 における運動量補正係数、 T_b : S_3 における平均流速、その他の記号は図に示す通りである。ここで S_2 における平均流速を $U_2 = Q/h_2$ (Q : 流量、 h_2 : S_2 における水深)で定義すると、(1)式左辺において

$$\rho \int_{h_{22}}^{h_2} U_{22}^2 dh + \rho \int_0^{h_{21}} U_{21}^2 dh = \rho \beta_2 Q^2 / h_2 \quad (2)$$

ここで β_2 は、 S_3 における運動量補正係数であり、

$$\beta_2 = \left(\int_{h_{22}}^{h_2} U_{22}^2 dh + \int_0^{h_{21}} U_{21}^2 dh \right) / U_2^2 h_2 \quad (3)$$

と定義する。

したがって、(1)式は

$$\frac{\rho \beta_2 Q^2}{h_2} - \frac{\rho \beta_2 Q^2}{h_3} = \frac{\rho g}{2} \{ h_3^2 - h_2^2 \} \quad (4)$$

○ $W > x_p$ の場合(図-1(b)参照)

上記の場合と同様に考えて

$$\frac{\rho \beta_2 Q^2}{h_2} - \frac{\rho \beta_2 Q^2}{h_3} = \frac{\rho g}{2} \{ h_3^2 - (h_2 + D)^2 \} \quad (5)$$

(3-2) 檢査面 S_1 , S_2 における運動量の式

○ $W < x_p$ の場合(図-1(a)参照)

$$\frac{\rho \beta_1 Q^2}{h_1} - \frac{\rho \beta_2 Q^2}{h_2} = \frac{\rho g}{2} \{ (h_2 - D)^2 - h_1^2 \} \quad (6)$$

○ $W > x_p$ の場合(図-1(b)参照)

$$\frac{\rho \beta_1 Q^2}{h_1} - \frac{\rho \beta_2 Q^2}{h_2} = \frac{\rho g}{2} \{ h_2^2 - h_1^2 \} \quad (7)$$

(3-3) 流量算定式の説明 (4), (6), (3), (7)式を無次元化すれば

○ $W < x_p$ の場合

$$\alpha_1^3 - (2\beta_2 F_{r3}^2 + 1) \alpha_1 + 2\beta_2 F_{r3}^2 = 0 \quad (4')$$

$$\alpha_2^3 - \{ (\alpha_1 - K)^2 + 2\beta_2 F_{r3}^2 (1/\alpha_1) \} \alpha_2 + 2\beta_2 F_{r3}^2 = 0 \quad (6)'$$

○ $W > X_p$ の場合

$$\left\{ \begin{array}{l} \alpha_1^3 + 2K_1\alpha_1^2 + (K_1^2 - 2\beta_3 F_{r3}^2)\alpha_1 + 2\beta_2 F_{r3}^2 = 0 \\ \alpha_2^3 - \{(2\beta_2 F_{r3}^2/\alpha_1) + \alpha_1^2\}/(\alpha_2 + 2\beta_2 F_{r3}^2) = 0 \end{array} \right. \quad (5)$$

$$\left\{ \begin{array}{l} \alpha_1^3 + 2K_1\alpha_1^2 + (K_1^2 - 2\beta_3 F_{r3}^2)\alpha_1 + 2\beta_2 F_{r3}^2 = 0 \\ \alpha_2^3 - \{(2\beta_2 F_{r3}^2/\alpha_1) + \alpha_1^2\}/(\alpha_2 + 2\beta_2 F_{r3}^2) = 0 \end{array} \right. \quad (6)$$

ここに、 $\alpha_1 = h_2/h_3$, $\alpha_2 = h_1/h_3$, $K = D/h_3$, $F_{r3} = Q/(gh_3^2)$ である。次に、 S_0 と S_1 間でエネルギー式を考えると

$$Q = [h_0/(h_1 h_0 - h_0 h_1)] \cdot B h_1 / [2g(h_0 - (h_1 + D))] \quad (8)$$

$h_0, h_1 : S_0, S_1$ における水深。したがって流量算定を行なうには、 $W < X_p$ の場合には、 (4), (6), (8) 式により、 $W > X_p$ の場合には、 (5), (7), (8) 式により、 h_0, h_1 を与え、 D を仮定し、 試算法により流量算定ができる。

(4) 壁頂付近のはく離形状

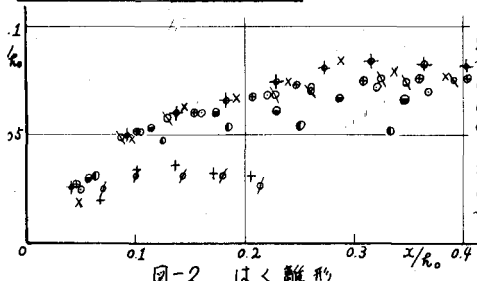


図-2 はく離形状

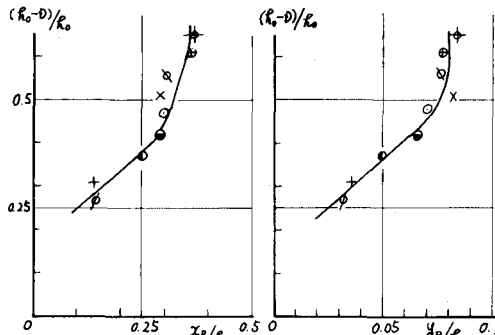


図-3 点Pの位置の変化と $(R_0 - D)/R_0$ の関係

図-2 に壁頂上流端を原点としたはく離形状を、 図-3 に P 点の変化の様子を示す。はく離領域の境界は流速がゼロになる点をした。 $(R_0 - D)/R_0 \geq 0.6$ では、はく離形状はほぼ一定の形を示しており、 $X_p/R_0 \approx 0.36$, $y_p/R_0 \approx 0.08$ である。前述の流量算定式において X_p と W の関係は、 図-3 により決定できる。

(5) 運動量補正係数の決定

図-4 に S_2 断面における流速分布の実測値を示す。この図から、 $W < X_p$, $W > X_p$, それぞれの場合

に、 流速分布

は相似性を保つ、 といふと仮定できよう

である。この実測値により (3) 式で定義しに β_2 を計算する

($W < X_p$ の場合)

$$\beta_2 = 3.43$$

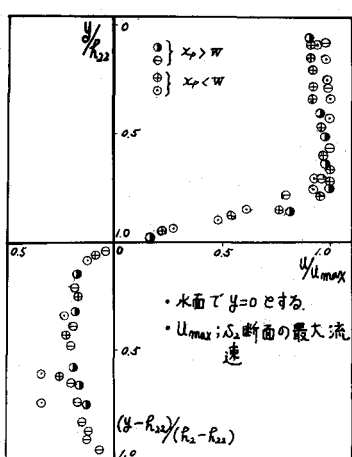


図-4 S_2 断面における流速分布

$$\beta_2 = 1.32 \text{ となる。}$$

尚、 β_3 の値については、 筆者らの測定によれば²⁾ $\beta_3 = 1.65$ となる。

(6) 流量算定式の計算結果および考察

以上の結果を用いて潜堤における流量を計算し、 実測値と比較したのが表-1 であるが、 かなり良い結果を得た。 S_3 の位置は reattaching point とする。壁上流端から reattaching point までの距離(L)については、 筆者は $L = X_p + 7.3(Y_p + D)$ という結果を得て、 いふが、 実用的にはこの式により算定しても問題ないと考へる。 X_p, Y_p は図-3 により求められる。計算に当っては、 九大大型電算センターの FACOM 230

表-1 実測流量と計算流量の比較

R_0 (cm)	R_3 (cm)	(計算値)/実測値	備考
37.23	36.55	0.98	$D = 20\text{ cm}$
36.84	36.05	1.01	$W = 25\text{ cm}$
35.94	35.05	0.98	$\beta_2 = 1.32$
35.13	34.03	1.02	
34.26	33.16	0.95	
35.77	34.99	1.00	$D = 20\text{ cm}$
39.14	38.35	1.17	$W = 10\text{ cm}$
34.71	33.70	1.06	$\beta_2 = 3.4$
35.32	34.15	1.17	

-60 を用いた。今回は矩形堰についてのみ検討したが今後は堰頂上流部に丸味をつけた場合や、 下流面を傾斜させた場合などについて検討したいと考えている。

参考文献

出上田：潜堤における堰近傍の流れについて
(S.44. 西部支部講演集)